

## تحلیل ناپایداری سطح مشترک بین دو سیال لزج میان دو استوانه هم مرکز در غیاب گرانث

سید علی اکبر پورا احمدی\*

دانشجوی کارشناسی ارشد مکانیک تبدیل انرژی  
دانشگاه صنعتی اصفهان

احمد صداقت

استادیار مکانیک  
دانشگاه صنعتی اصفهان

**چکیده:** در این مقاله ناپایداری خطی بین دو لایه سیال لزج در داخل دو استوانه هم مرکز را بصورت تحلیلی حل کرده و معادلات آنها را که پیچیده و طولانی هستند توسط کدنویسی در دو نرم افزار بوسيله فرمول و شکل بررسی می کنیم. این بررسی در حالت هیدرواستاتیکی و در حالتی که از اثر نسبت چگالی دو سیال و شعاع استوانه خارجی صرف نظر نشود انجام شده است و نتایج با نتایج مقاله‌های موجود در منابع مقایسه شده است. امروزه و لویس در مقاله خود به بررسی مسئله ناپایداری دو طبقه سیال داخل دو استوانه هم مرکز پرداختند. آنها در بدست آوردن روابط خود، اثر نسبت چگالی دوسیال با محدودیت وارد کرده‌اند و این نسبت را بینهایت قرار دادند و همچنین اثر شعاع خارجی بی بعد نیز بعلت فرض بالا در نظر گرفته نشده است.

در این مقاله رابطه‌ای کلی تر برای ناپایداری مسئله مذکور بدست خواهیم آورد. بدین منظور رابطه‌ای برای حالت متقارن  $n=0$  که  $n$  عدد موج سمتی است بدست آورده که این رابطه را بصورت ساده شده نشان می دهیم و برای حالت کلی نیز با هر  $n$  رابطه‌ای پیچیده بدست آورده‌ایم، از این جهت از آوردن آن خودداری کرده و فقط به نمودارهای حاصل از آن بسنده می کنیم. اگر سیال سنگین تر در تماس با استوانه خارجی باشد به علت نیروی گریز از مرکز این سیستم پایدار هیدرواستاتیکی است و اگر آن سیال در تماس استوانه داخلی باشد این سیستم ناپایدار می شود این قانون توسط عبارات بدست آمده تصدیق می شود.

**واژه‌های کلیدی:** ناپایداری خطی، استوانه‌های هم مرکز، ماکزیمم نرخ رشد، کشش سطحی

### ۱. مقدمه

موضوع ناپایداری سیال داخل یک استوانه حدود یک قرن پیش توسط رینولدز بررسی شده است و در کتاب چاندراسخار<sup>۱</sup> در بحث جتها نشان داده شده است. رایلی<sup>۲</sup> نیز در مورد این پدیده تحقیق کرده است و کاهش سیرکولاسیون با شعاع را شرط لازم ناپایداری بدست آورده است. در مطالعه ای دیگر اثر کشش سطح و چرخش توسط هکینگ و مایکل<sup>۳</sup> در نظر گرفته شد □ آنها یک حل تحلیلی برای نرخ رشد و طول موج سمتی آشفتگیهای یک ستون آب تحت چرخش بدست آوردند. ایچ<sup>۴</sup> روی ناپایداری یک لایه سیال نازک روی یک سیلندر افقی چرخان تمرکز کرد وی نشان داد عدد موج بحرانی به کشش سطح و عدد رینولدز بستگی دارد. هکینگ<sup>۵</sup> ناپایداری یک ستون سیال تحت چرخش بصورت صلب را شرح داد. پدلی<sup>۶</sup> ناپایداری جریان ماریچی را روی سطح آزاد سیلندر در داخل و خارج بدست آورد. جوزف<sup>۷</sup> پایداری سیالات ویسکوز را بصورت طبقه ای داخل استوانه چرخان بدست آورد. ویدمن<sup>۸</sup> پایداری دو طبقه سیال ویسکوز را در داخل یک استوانه محاسبه کرد. او نتایج قبلی را که بررسی روی یک سیال بود هماهنگ کرد. او همچنین در مقاله ای دیگر حل عددی کاملی از مسئله خطی دو طبقه سیال ویسکوز در یک سیلندر را بدست آورد. هواشودو<sup>۹</sup> در سال ۲۰۰۷ در مقاله خود از تئوری گرادیان انرژی برای مطالعه ناپایداری تیلور کوئت بین سیلندرهای هم مرکز استفاده کرد.

\* مؤلف مکاتبه کننده

پست الکترونیکی: [sa.pourahmadi@iut.ac.ir](mailto:sa.pourahmadi@iut.ac.ir)

اروزکو و لویس<sup>۱۰</sup> در مقاله خود به بررسی مسئله نا پایداری دوطبقه سیال داخل دو استوانه هم مرکز پرداختند و روابطی برای آن با گرفتن محدودیتهایی بدست آوردند. در روابط آنها برای بدست آوردن رابطه موجود در مقاله، اثر نسبت چگالی دوسیال با محدودیت وارد شده است و این نسبت را بینهایت قرار دادند و همچنین اثر شعاع خارجی بی بعد نیز بعلت فرض بالا در نظر گرفته نشده است.

ما در این مقاله خواستار بدست آوردن رابطه ای کلی تر برای نا پایداری در حالت کلی مسئله مذکور هستیم برای این ادعا در بخش اصلی رابطه ای برای حالت متقارن  $n=0$  بدست آورده که این رابطه را بصورت ساده شده نشان می دهیم و برای حالت کلی نیز با هر  $n$  رابطه ای بزرگ و پیچیده بدست آوردیم، از این جهت از آوردن آن خودداری کرده و فقط به نمودارهای حاصل از آن بسنده می کنیم. اگر سیال سنگین تر در تماس با استوانه خارجی باشد به علت نیروی گریز از مرکز این سیستم پایدار هیدرواستاتیکی است و اگر آن سیال در تماس استوانه داخلی باشد این سیستم ناپایدار می شود در آخر ما قانون فوق را توسط عبارات بدست آمده خود تصدیق خواهیم کرد.

## ۲. معادلات حرکت :

در این مسئله ناپایداری دو سیال ویسکوز چرخان که مانند یک جسم صلب بین دو سیلندر هم مرکز قرار داده شده اند بررسی می شود و از اثر جاذبه در این مسئله صرفنظر می شود. شکلی از این سیستم در شکل ۱ کشیده شده است. درمقایسه با مقاله ویدمن سیلندر داخلی با شعاع  $r=c$  است و شعاع سیلندر خارجی  $r=b$  است. سیالات دانسیته ثابت  $\rho_i$  دارند که  $i=1$  و  $2$  بترتیب برای سیال داخلی و خارجی است. سرعت زاویه ای سیستم  $\Omega = \Omega e_z$  است. که بزرگی بردار سرعت خارجی و  $e_z$  بردار واحد در جهت محور است بردارهای واحد دیگر در جهتهای شعاعی و سمتی  $e_r$  و  $e_\theta$  است. ثابت کشش سطح  $\gamma$  است.

معادله حرکت در مختصات استوانه ای یک سیال ویسکوز در یک سیستم چرخان در زیر نوشته شده است :

$$\frac{D\bar{u}_i}{Dt} + 2\bar{\Omega} \times \bar{u}_i = -\frac{1}{\rho_i} \nabla p_i + \nabla \left[ \frac{(\bar{\Omega} \times r)^2}{2} \right] \quad (1)$$

و معادله غیر قابل تراکم:

$$\nabla \cdot \bar{u}_i = 0 \quad (2)$$

اینجا  $\bar{r}$  بردار شعاعی و  $r$  بزرگی آن و بردار  $\bar{U}_i = (U_i, V_i, W_i)$  بردار سرعت است. متغیرهای زمان با  $\Omega^{-1}$  و طول با شعاع سطح  $a$  و سرعت با  $a\Omega$  و فشار با  $pa^2\Omega^2$  بی بعد می شوند.

به این روش معادلات حرکت دو سیال ممکن است به این روش نوشته شود :

$$\frac{\partial u_i}{\partial t} + (\bar{u}_i \cdot \nabla) u_i - 2V_i = -\frac{1}{\lambda^{2-i}} \frac{\partial}{\partial r} \left[ \frac{p_i - \lambda^{2-1}}{2} r^2 \right] \quad (3)$$

$$\frac{\partial V_i}{\partial t} + (\bar{u}_i \cdot \nabla) V_i - \frac{u_i V_i}{r} + 2u_i = -\frac{1}{\lambda^{2-i}} \frac{1}{r} \frac{\partial p_i}{\partial \theta} \quad (4)$$

$$\frac{\partial W_i}{\partial t} + (\bar{u}_i \cdot \nabla) W_i = -\frac{1}{\lambda^{2-i}} \frac{\partial p_i}{\partial z} \quad (5)$$

$$\frac{1}{r} \frac{\partial}{\partial r} (ru_i) + \frac{1}{r} \frac{\partial V_i}{\partial \theta} + \frac{\partial W_i}{\partial z} = 0 \quad (6)$$

که  $\lambda = \frac{\rho_1}{\rho_2}$  نسبت دانسیته است و اپراتور نابلا در مختصات استوانه ای

$$\nabla = \frac{\partial}{\partial r} \mathbf{e}_r + \frac{1}{r} \frac{\partial}{\partial \theta} \mathbf{e}_\theta + \frac{\partial}{\partial z} \mathbf{e}_z \quad (7)$$

اگر ما سطح را توسط بی بعد سازی در  $r=1$  قرار دهیم سیلندر خارجی در  $r=k_2 = \frac{b}{a}$  و سطح سیلندر داخلی در

$r=k_1 = \frac{c}{a}$  قرار خواهند گرفت آشفتگی ها در سطح در  $r=1+\eta(\theta, z, t)$  قرار می گیرند از این محاسبه بردار

نرمال در سطح استفاده می شود. داریم :

$$\bar{n} = \frac{\mathbf{e}_r + \frac{1}{r} \frac{\partial \eta}{\partial \theta} \mathbf{e}_\theta + \frac{\partial \eta}{\partial z} \mathbf{e}_z}{\sqrt{1 + \frac{1}{r^2} \left(\frac{\partial \eta}{\partial \theta}\right)^2 + \left(\frac{\partial \eta}{\partial z}\right)^2}} \quad (8)$$

بنابراین شرایط مرزی هستند :

$$r = k_1 \quad \text{در} \quad p = p_0 \quad (9)$$

$$r = k_1 \quad \text{در} \quad u_1 = 0 \quad (10)$$

$$r = k_2 \quad \text{در} \quad u_2 = 0 \quad (11)$$

که  $p_0$  یک فشار رفرنس در سطح سیلندر داخلی است. پیوستگی سرعتهای شعاعی در سطح باید توسط شرایط مرزی سینماتیکی ارضا شوند.

$$U_i - \left(\frac{\partial \eta}{\partial t} + \frac{V_i}{r} \frac{\partial \eta}{\partial \theta} + W_i \frac{\partial \eta}{\partial z}\right) = 0 \quad \text{در} \quad r=1+\eta \quad (12)$$

فشار ناپیوسته در سطح به علت کشش سطحی می تواند بوسیله یک معادله تعادل برای تنشهای نرمال تشریح شود.

$$p_2 - p_1 = L_2 \nabla \cdot \mathbf{n} \quad \text{در} \quad r=1+\eta \quad (13)$$

در حالت هیدرواستاتیک سیستم مانند یک جسم صلب می چرخد و فشار از راه هر سیال ارضا می شود:

$$p_{01} = p_0 + \frac{1}{2} \lambda (r^2 - k_1^2) \quad k_1 \leq r \leq 1 \quad (14)$$

$$p_{02} = p_0 + \frac{1}{2} r^2 + \frac{\lambda - 1}{2} - \frac{1}{2} \lambda k_1^2 - L_2 \quad 1 \leq r \leq k_2 \quad (15)$$

که  $L_i = \frac{\gamma}{\rho_i \Omega^2 a^3}$  به عنوان نسبت نیروی کشش سطحی به نیروی گریز از مرکز سیال  $i=1$  یا  $i=2$  محاسبه شده در سطح

تعریف می شود. این تعریف معکوس عدد گریز از مرکزی باند است با بکار بردن آشفتگی های کوچک روی سرعت و فشار و تغییر شکل سطح به ترتیب با  $u'_i$  و  $p'_i$  و  $n'$  معادلات شرایط مرزی را می توانیم خطی کنیم. در این روش حالت هیدرواستاتیک سیستم بصورت زیر آشفته می شود:

$$\begin{pmatrix} \bar{u}_i \\ p_i \\ r \end{pmatrix} = \begin{pmatrix} 0 \\ p_{oi} \\ 1 \end{pmatrix} + \begin{pmatrix} \bar{u}'_i \\ p'_i \\ n' \end{pmatrix} \quad (16)$$

بعد از جانشین در معادله (6)-(3) و کاهش جواب هیدرواستاتیک و خطی کردن معادلات ارضا شده توسط آشفتگیها در هر ناحیه سیال داریم :

$$\frac{\partial u'_i}{\partial t} - 2V'_i = -\frac{1}{\lambda^{2-i}} \frac{\partial p'_i}{\partial r} \quad (17)$$

$$\frac{\partial V_i'}{\partial t} - 2u_i' = -\frac{1}{\lambda^{2-i}} \frac{1}{r} \frac{\partial p_i'}{\partial r} \quad (18)$$

$$\frac{\partial W_i'}{\partial t} = -\frac{1}{\lambda^{2-i}} \frac{\partial p_i'}{\partial z} \quad (19)$$

$$\frac{1}{r} \frac{\partial}{\partial r} (rU_i') + \frac{1}{r} \frac{\partial V_i'}{\partial \theta} + \frac{\partial W_i'}{\partial z} = 0 \quad (20)$$

در شرایط مرزی خطی برای آشفتگیها داریم :

$$u_1' = 0 \quad \text{در} \quad r = k_1 \quad (21)$$

$$u_2' = 0 \quad \text{در} \quad r = k \quad (22)$$

$$u_1' = u_2' = \frac{\partial \eta'}{\partial t} \quad \text{در} \quad r = 1 \quad (23)$$

$$p_2' - p_1' = \frac{\partial \eta'}{\partial t} \quad \text{در} \quad r = 1 \quad (24)$$

$$p_2' - p_1' = -(1-\lambda)\eta' + L_2(\eta' + \frac{\partial^2 \eta'}{\partial \theta^2} + \frac{\partial^2 \eta'}{\partial z^2}) \quad \text{در} \quad r = 1 \quad (25)$$

در اینجا اگر آشفتگیها را روی مدهای نرمال جدا پذیر بگیریم داریم :

$$(u_i', v_i', w_i', p_i', n_i') = (U_i(r), V_i(r), W_i(r), p_i(r), A) e^{i(kz+n\theta)+st} \quad (26)$$

که  $V_i(r)$  و  $W_i(r)$  و  $p_i(r)$  و  $A$  بترتیب دامنه های سرعتها و فشار و سطح است. به علاوه  $k$  عدد موج محوری،  $n$  عدد سمتی و  $S = \sigma + i\omega$  یکعدد مختلط که قسمت حقیقی آن نرخ رشد و قسمت موهومی آن فرکانس نوسان آشفتگی است بنابراین مدهای نرمال معادلات 17-20 معادلات زیر بر حسب دامنه ها می شوند:

$$SU_i - 2V_i = -\frac{1}{2-i} Dp_i \quad (27)$$

$$SV_i - 2U_i = -\frac{in}{r\lambda^{2-i}} p_i \quad (28)$$

$$SW_i = -\frac{ik}{\lambda^{2-i}} p_i \quad (29)$$

$$\frac{1}{r} D(rU_i) + \frac{in}{r} V_i + ikW_i = 0 \quad (30)$$

با شرایط مرزی متناظر:

$$U_1 = 0 \quad \text{در} \quad r = k_1 \quad (31)$$

$$U_2 = 0 \quad \text{در} \quad r = k \quad (32)$$

$$U_1 = U_2 = SA \quad \text{در} \quad r = 1 \quad (33)$$

$$P_2 - P_1 = -\Psi A \quad \text{در} \quad r = 1 \quad (34)$$

$$\Psi = (1-\lambda) - L_2(1-n^2 - k^2) \quad D \equiv \frac{d}{dr} \quad (35)$$

### ۳. حل معادلات

قابل ذکر است که نتایج جدید بدست آمده قبلا در مورد مدهای سمتی و محوری در مقاله مذکور چاپ شده است. اما از برخی اثرات مانند  $\lambda$  در روابط صرفنظر شده بود اما در این مقاله ما اثر  $\lambda$  و همچنین  $k_2$  را در نظر گرفتیم. ناپایداری دو سیال ویسکوز چرخان که مانند یک جسم صلب بین دو سیلندر هم مرکز فرض می شود در اینجا بررسی می شود. ما ابتدا توسط معادلات بدست آورده شده ۲۷ ۲۸ ۲۹ ۳۰ معادله مربوطه را بدست می آوریم. برای اندیس  $i=1$  توسط دو معادله اول با استفاده از حل دو معادله دو مجهول خواهیم داشت:

$$U_1 = -\frac{1}{(s^2 + 4)} \left( sDP_1 + \frac{2in}{r} P_1 \right) \quad (36)$$

$W1$  و  $V1$  را نیز از معادلات بدست خواهیم آورد.

با گذاردن معادلات بدست آورده شده در بالا در معادله ۳۰ و ساده کردن آن خواهیم داشت:

$$D^2 P_1 + \frac{1}{r} DP_1 - \left[ \frac{n^2}{r^2} + \alpha^2 \right] P_1 = 0 \quad (37)$$

که

$$\alpha^2 = \frac{k^2(s^2 + 4)}{s^2} \quad (38)$$

حال معادله دیفرانسیل بالا را حل می کنیم جواب این معادله تابع بسط خواهد بود:

$$P_1(r) = A_1 I_n(\alpha r) + B_1 K_n(\alpha r) \quad (39)$$

اگر با اندیس ۲ ( $i=2$ ) این معادلات را حل کنیم مانند بالا معادلاتی با اندیس ۲ خواهیم داشت:

$$U_2 = -\frac{1}{(s^2 + 4)\lambda} \left( sDP_2 + \frac{2in}{r} P_2 \right) \quad (40)$$

$$P_2(r) = A_2 I_n(\alpha r) + B_2 K_n(\alpha r) \quad (41)$$

حال ما ۴ ضریب ثابت داریم که برای بدست آوردن ضرایب ثابت از شرایط مرزی زیر استفاده می کنیم.

$$U_1 = 0 \quad \text{at} \quad r = k1 \quad (42)$$

$$U_2 = 0 \quad \text{at} \quad r = k2 \quad (43)$$

$$U_1 = U_2 = sA \quad \text{at} \quad r = 1 \quad (44)$$

$$P_2 - P_1 = -\psi A \quad \text{at} \quad r = 1 \quad (45)$$

$$\psi = (1 - \lambda) - L_2(1 - n^2 - k^2) \quad (46)$$

همان طور که می بینید ما ۵ معادله داریم که البته  $A$  و  $\Psi$  نیز خود مجهول اند بنابراین ما می توانیم معادله مقدار ویژه را بدست آوریم.

از شرط مرزی اول داریم:

$$U_1 = -\frac{1}{(s^2 + 4)}(sDP_1 + \frac{2in}{r}P_1) = 0 \text{ در } r = k_1 \quad (47)$$

با این شرط ما برای  $P_1$  یکی از ضرایب را می توانیم حذف کنیم.  
از شرط مرزی دوم نیز داریم:

$$U_2 = 0 \text{ at } r = k_2 \quad (48)$$

که می تواند یکی از ضرایب  $P_2$  را حذف کند

حال ما بین  $P_1, P_2$  دو ضریب  $C_1, C_3$  را داریم با در نظر گرفتن شرط مرزی سوم یعنی  $u_1 = u_2$  در  $r=1$  می توانیم  $C_3$  را بر حسب  $C_1$  بدست آوریم که در نتیجه  $P_2 - P_1$  در هر نقطه ای را فقط با داشتن مجهول  $C_1$  میتوان بدست آورد که با در نظر گرفتن قسمت آخر شرط مرزی ۳ میتوان  $A$  را نیز براساس  $C_1$  نوشت

و چون در هر دو مورد می توان  $C_1$  را بصورت ضریب کلی بدست آورد در نتیجه در تقسیم ما بین  $\frac{P_1 - P_2}{A} = \psi$  حذف خواهد شد و رابطه مفید اما پیچیده ما بین عناصر آشفنگی پیدا خواهد شد که رابطه ای بین  $(k_1, k_2, s, k, \rho, L_1, \lambda)$  خواهد بود. اگر ما حالت متقارن را در نظر بگیریم که آشفنگیها به  $\theta$  مرتبط نباشند  $n=0$  می شود که معادله در این حالت بصورت زیر ساده می شود:

$$\frac{1}{(I_1(\alpha)K_1(\alpha k_2) - I_1(\alpha k_2)K_1(\alpha))} \times \frac{1}{(I_1(\alpha)K_1(\alpha k_1) - I_1(\alpha k_1)K_1(\alpha))} \times \left\{ \begin{array}{l} I_0(\alpha)I_1(\alpha k_1)K_1(\alpha)K_1(\alpha k_2) \\ -\lambda I_1(\alpha k_1)I_1(\alpha k_2)K_0(\alpha)K_1(\alpha) \\ + I_1(\alpha k_1)K_0(\alpha)K_1(\alpha)I_1(\alpha k_2) \\ - (1-\lambda)I_0(\alpha)I_1(\alpha)K_1(\alpha k_1)K_1(\alpha k_2) \\ -\lambda I_0(\alpha)I_1(\alpha k_2)K_1(\alpha)K_1(\alpha k_1) \\ + \lambda I_1(\alpha)I_1(\alpha k_1)K_0(\alpha)K_1(\alpha k_2) \\ - I_1(\alpha)I_1(\alpha k_2)K_0(\alpha)K_1(\alpha k_1) \end{array} \right\} = \frac{\alpha(\lambda + L_1\lambda(1-k^2) - 1)}{s^2 + 4} \quad (49)$$

و در این حالت ثابت می شود که مد ایستگاهی داریم و  $\omega = 0$  است در نتیجه  $\sigma = s$  است .  
در این رابطه ما علاوه بر پارامترهای در نظر گرفته شده در مقاله اروزکو و لویس<sup>۱</sup> پارامتر  $\lambda$  و  $k_2$  که مربوط به استوانه خارجی است نیز در نظر گرفتیم و این اولین گام در مقاله ماست که در پایین با رسم شکلهای این معادله را چک می کنیم . اگر ما تغییرات  $\rho$  بین ۰ و ۱ را بررسی کنیم می بینیم که برای  $k$  های بالاتر از ۳ اختلاف بین منحنی ها تقریباً صفر می شود. شکل ۱ اگر ما تغییرات منحنی  $s$  را بین  $L_1 = 0.01$  تا  $L_1 = 1000$  را بررسی کنیم به شکل ۲ دست می یابیم که درستی شکل ما در مقاله اروزکو و لویس<sup>۱</sup> آمده است و آن را می توان چک کنیم.  
اگر ما منحنی های  $s$  را نسبت به تغییرات  $k$  را با تغییرات  $k_1$  بین ۰ تا ۱ بکشیم شکل ۳ را خواهیم داشت.

همان طور که از شکلها دیده می شود منحنی ها نسبت به تغییرات  $k_1$  حالت لگاریتمی دارد. اگر ما تغییرات  $\lambda$  را در این منحنیها بررسی کنیم به شکل ۴ می رسمیم در این شکل برای  $\lambda$  های بزرگتر از صد تا  $\infty$  نمودار تغییر نمی کند اما تغییرات لگاریتمی در  $\lambda$  های پایینتر دارد. اگر ما در شکل ۴  $n$  را تغییر دهیم آن را یک در نظر بگیریم شکل ۵ را خواهیم داشت. در شکل ۶ نیز این منحنی ها براساس تغییر  $n$  برای  $\lambda=10$  کشیده شده است. همان طور که از فرمول واشکال پیداست ما  $k$  ای را می توانیم پیدا کنیم که به ازای آن  $\sigma$  ی بیشترین مقدار خود را بگیرد اگر ما برای  $L_1$  های مختلف  $\sigma_{max}$  را رسم کنیم (برای  $n=0$  و  $k_1=0.5$  و  $k_2=1.5$  و  $\lambda=10000$ ) به شکل ۷ دست پیدا می کنیم که می توانیم آن را در مقاله امروز کو و لویس<sup>۱۰</sup> چک کنیم.

حال اگر ما برای  $n=1$  نمودار بالا را رسم کنیم مقدار  $\sigma_{max}$  به مقدار ثابتی برای  $L_1$  بزرگتر از مقداری خواهد رسید که آن در شکل ۸ نمایش داده شده است. اگر ما  $\lambda$  را بین ۰ و ۱ انتخاب کنیم بنا به امروز کو و لویس<sup>۱۰</sup> به علت اثر نیروی گریز از مرکز روی سیال با چگالی بیشتر پایدار می ماند حال اگر شکل زیر را ببینیم به همین نتیجه خواهیم رسید. همان طور که در شکل ۹ دیده میشود مقدار  $\sigma$  برای  $k$  های مثبت  $\square$  منفی است در نتیجه پایدار است.

## ۵. نتیجه گیری و جمع بندی

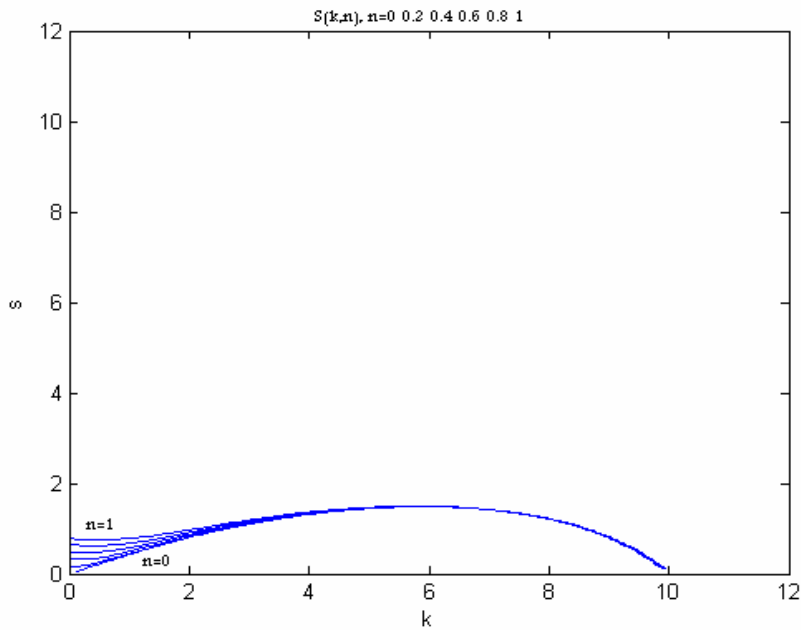
نتایج ما اهمیت اثر سیلندر داخلی را روی ناپایداری سیستم دو طبقه سیال واضح می سازد. وقتی لایه سیال داخلی پوشاننده سیلندر داخلی تنها باشد یعنی سیال خارجی وجود نداشته باشد مسئله ناپایداری بیشتری نسبت به موقعی که سیستم دولایه سیال داشته باشیم که سیال داخلی یک دانسیته بزرگتری نسبت به سیال خارجی داشته باشد خواهد داشت. در این حالت نشان داده می شود که مدهای سمتی طول موج و مارپیچی نقش مهمی را در ناپایداری بازی می کنند. بخصوص نشان داده شده است که ناحیه  $L_1$  مد متقارن  $n=0$  بعلت وجود طول موج سمتی  $n=1$  در حضور سیلندر داخلی کم شده است. این یک نتیجه غیر منتظره است زیرا مد  $n=1$  وقتی  $k_1=1$  باشد ظاهر نمی شود. براساس نتایج ما اگر  $\lambda$  را زیاد کنیم میزان ناپایداری بر اساس  $k$  ثابت زیاد خواهد شد اما این افزایش بصورت لگاریتمی خواهد بود. همچنین افزایش  $n$  در  $k$  های کوچک باعث افزایش ناپایداری می شود همچنین معلوم می شود افزایش نسبت شعاع داخلی به فاصله اش از سطح ناپایداری را بصورت لگاریتمی کاهش خواهد داد. و از نتایج آخرین نیز نتیجه می شود که اگر سیال بالایی سنگین تر از پایینی باشد سطح پایدار خواهد بود که این امری بدیهی است.

## مراجع

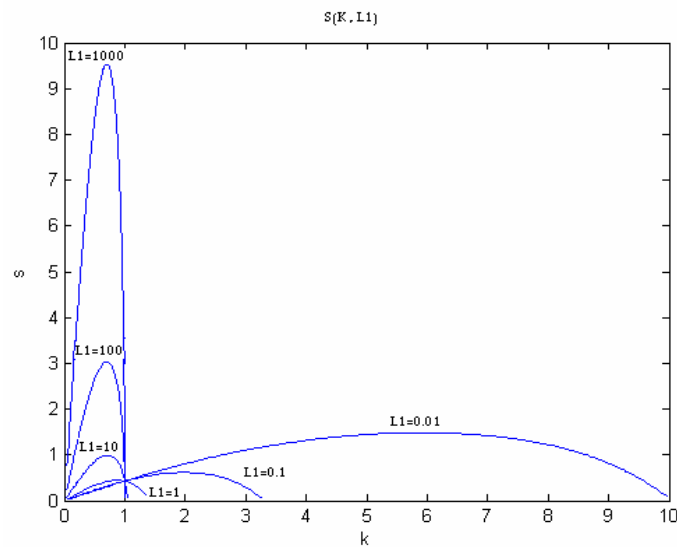
- [1] - S. Chandrasekhar, Hydrodynamic and Hydromagnetic Stability ~Dover, New York, 1981, Chap. 12.
- [2]-Lord Rayleigh, "On the dynamics of revolving fluids," Proc. London Math. Soc. 93, 148 ~1916!.
- [3]-L. M. Hocking and D. H. Michael, "The stability of a column of rotating liquid," Mathematika 6, 25 ~1959!.
- [4]-C.-S. Yih, "Instability of a rotating liquid film with a free surface," Proc. R. Soc. London, Ser. A 258, 63 ~1960!.
- [5]- L. M. Hocking, "The stability of rigidly rotating column of liquid," Mathematika 7, 1 ~1960!.
- [6]-T. J. Pedley, "The stability of rotating flows with a cylindrical free surface," J. Fluid Mech. 30, 127 ~1967!.
- [7]-D. D. Joseph, Y. Renardy, M. Renardy, and K. Nguyen, "Stability of rigid motions and rollers in bicomponent flows of immiscible liquids," J. Fluid
- [8] - P.D Weidman, M. Goto and A. Fridberg, "On the instability of inviscid, rigidly rotating immiscible fluids in zero gravity," Z. Angew. Math. Phys. 48, 921 (1971)

[9]- *International Journal of Thermal Sciences*, Volume 47, Issue 11, November 2008, Pages 1422-1435 Hua-Shu Dou, Boo Cheong Khoo, Khoo Seng Yeo

[10] - L. A. Da'valos-Orozco and E. Va'zquez-Luis Instituto de Investigaciones en Materiales, Universidad Nacional Auto'noma de Me'xico," Instability of the interface between two inviscid fluids inside a rotating annulus in the absence of gravity" September 2003.

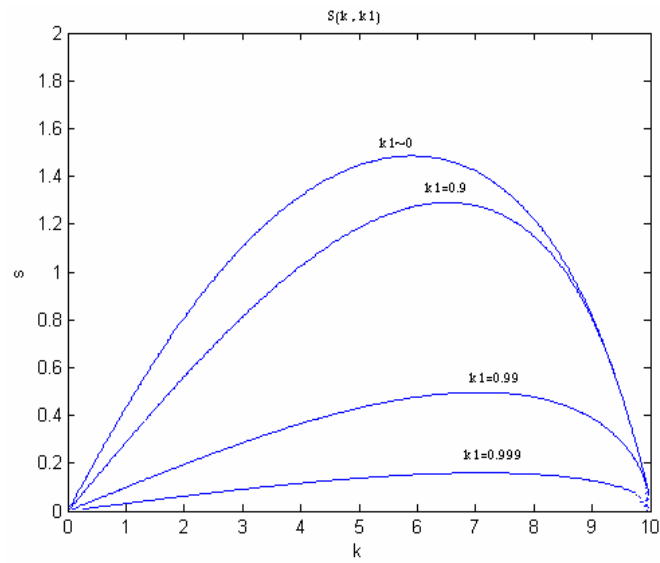


شکل ۱: تابع  $S$  بر حسب  $k$  برای  $n$  های مختلف

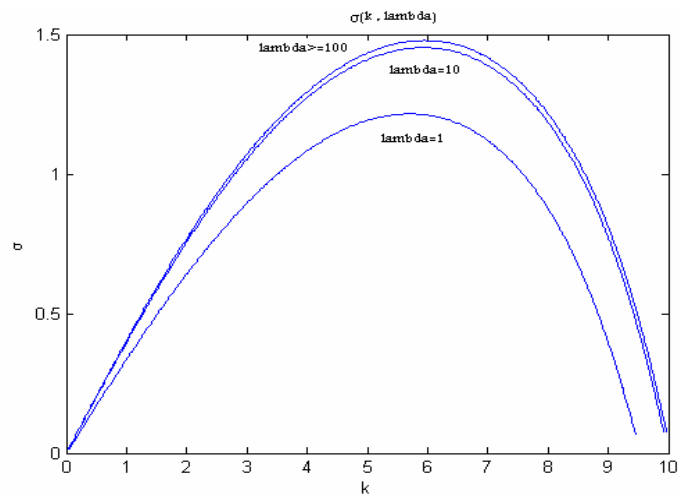


شکل ۲: تابع  $S$  بر حسب  $k$  برای  $L_1$  های مختلف

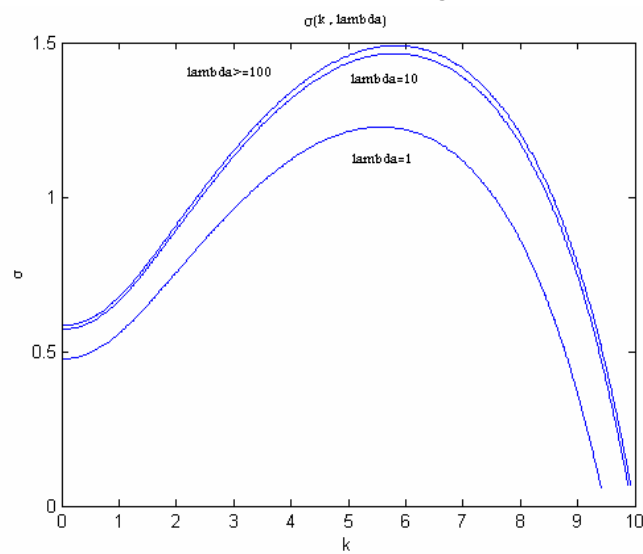




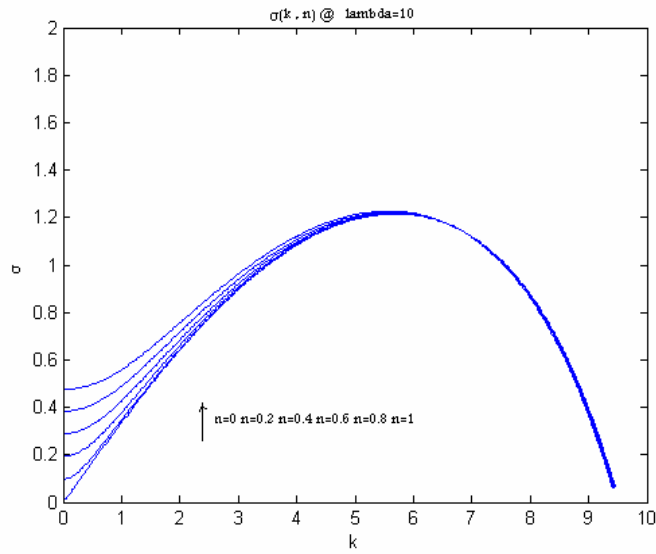
شکل ۳: تابع  $S$  بر حسب  $k$  برای  $k_1$  های مختلف



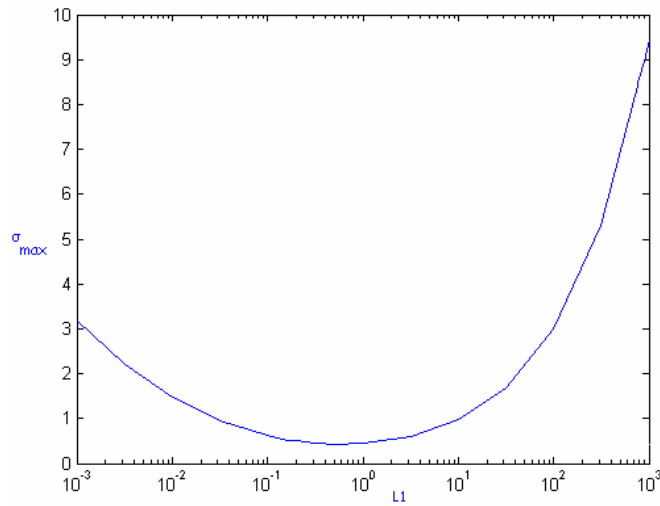
شکل ۴: تابع  $S$  بر حسب  $k$  برای  $\lambda$  های مختلف



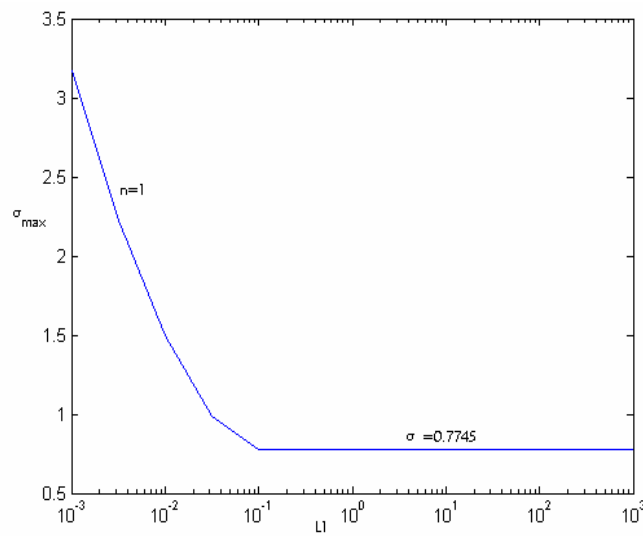
شکل ۵: تابع  $S$  بر حسب  $k$  برای  $\lambda$  های مختلف با  $n \neq 0$



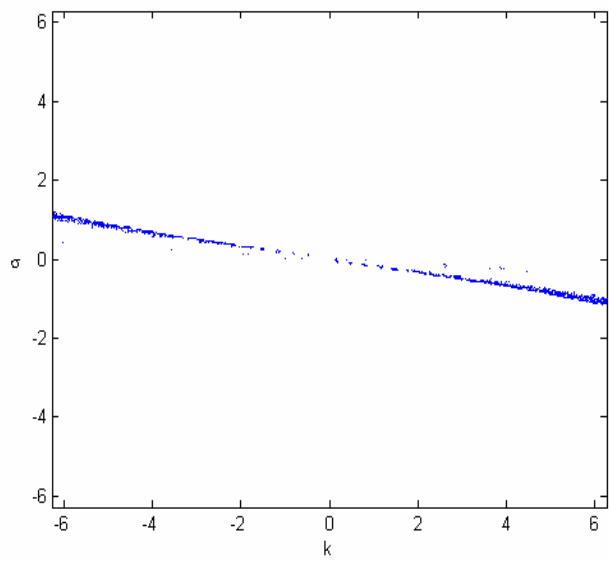
شکل ۶: تابع  $\sigma$  بر حسب  $k$  با  $n$  های مختلف



شکل ۷:  $\sigma_{\max}$  به عنوان تابعی از  $L_1$



شکل ۸:  $\sigma_{\max}$  به عنوان تابعی از  $L_1$



شکل ۹:  $\sigma$  بر حسب  $k$  برای حالت  $\lambda < 1$